

## Slotted Line 의 Slot 幅이

## 特性 Impedance에 미치는 影響에 關한 考察

鄭萬永

(原子力研究所 電子工學研究室)

## 1. 序　　論

超短波帶에서 Micro 波帶에 이르는 周波數帶 即 30 Mc~1,000 Mc 帶에서의 Impedance 를 正確하게 測定하려면 다른 周波數帶에 比하여 取扱하기 困難한 問題들이 많다. 이러한 것을 解決하는 하나의 基準으로 IEC(國際電氣標準會議)案은 基幹測定器로서 Slotted line 을 採用하고 있는데 이때 Slot 幅에 依한 Impedance 的 變化를 正確한 理論式으로 提示된 것이 없었던 것을 여기에 처음으로 이러한 關係를 理論的으로 導出하여서 이 結果에 依하여 所望의 特性 Impedance 에 影響을 주지 않는 限度의 Slot 幅을 算出할 수 있는 根據를 얻었다. 또 前記 周波數帶를 普通의 Coaxial Slotted line 으로 基幹測定器를 만드는 것보다 Slab line 으로 만드는 것이 더 製作이 容易하며 經濟的이고 正確性을 갖출 수 있다는 것을 指摘하는 한편 이때의 Slab line 의 Slot 幅이 外觀上에는 大端히 큰 것 같이 보이나 Coaxial line 으로 等角寫像을 하여 얻어지는 結果에 따라서 Slot 幅이 特性 Impedance 에 미치는 影響을 理論的으로 求함으로써 電氣的으로는 Coaxial line 의 좁은 Slot 幅과 大差 없다는 것을 試할 수 있다.

## 2. 原理

一般的으로 Slotted line 으로서 잘 사용되는 Coaxial line 과 새로이 사용될 Slab line 을 비교하기 위해서 그림1(a)를  $\dot{W} = \tan \dot{Z}$  라는 等角寫像 을 함으로써 同圖 (b)와 같은 것을 얻는다. 即 (a)圖의  $\dot{W}$  平面上의 Coaxial line 을  $\dot{Z}$  平面上에

인 變換을 하면 (a)圖의 外部導體에서  $\theta/2$  인 Slot 幅 은

로 되며

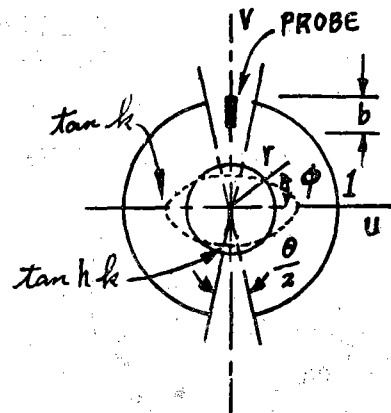


그림 (a) Coaxial line type

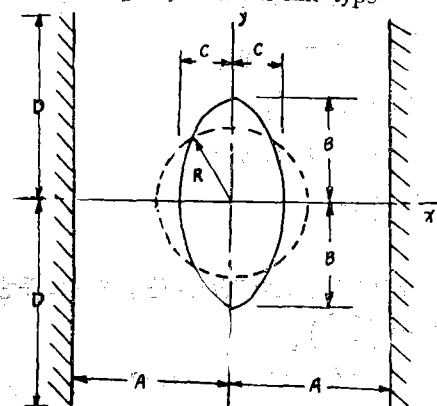


그림 (b) Slab line type

그림 1. Coaxial line과 Slab line의 解析圖

인 有限長의 平行平面으로  $Z$  平面上에 變換이 된다.  
여기서  $\theta$  가 작을 때는

가 되어서 (4)式을 滿足하는  $D$ ,  $A$  라면 (a)圖의 Coaxial의 Slot 幅에 依한 Impedance 를 考慮하면 되다.

다음에 (a)圖의 中心導體는 (b)圖의 實線과 같이 橋圓으로 變換된다. 여기서 이러한 Slab line 을 製作하면 橋圓인 中心導體의 製作과 支持問題가 어렵게 되

기 때문에 反對로 Slab line의 中心導體를 (b)圖의 點線과 같이 圓으로 된 것을 Coaxial line에  $\dot{Z} = \tan^{-1} \dot{W}$ 인 逆變換을 하면 (a)圖의 中心導體는 點線과 같이 長徑이  $\tan k$ , 短徑이  $\tan hk$ 로 되는 楕圓으로 된다. 이와 같이 하면 既述한 Slab line은 (a)圖의 Coaxial line에서 中心導體가 楕圓으로 된 것을 解析하면 Slotted line으로서의 모든 電氣의in 性質을 求할 수 있게 된다.

여기서 이러한 Coaxial line의 特性 Impedance를 誘導하기 위하여 그림 1(a)에서 다음과 같이 Laplace 方程式의 解를 圓極座標로 表示하면 電位 V는

$$V = K \ln r + Mr^2 \cos 2\phi + \frac{N}{r^2} \cdot \cos 2\phi \quad \dots \dots \dots (5)$$

但,  $K$ ,  $M$ ,  $N$ , 는 境界條件으로서 決定되는 定數와 같다.

여기에 境界條件으로서

$$\begin{aligned} r=1 &: V=0 \\ r=\tan k, \quad \phi=0 &: V=V_1 \\ r=\tan hk, \quad \phi=\pi/2 &: V=V_1 \end{aligned} \quad \dots \dots \dots (6)$$

를 代入하면

$$V = \frac{V_1}{S \ln \tan k + T \ln \tan hk} \times \left\{ (S+T) \ln r + R \cos 2\phi \left( r^2 - \frac{1}{r^2} \right) \right\} \quad \dots \dots \dots (7)$$

$$\text{但 } S = \tan h^2 k - \frac{1}{\tan h^2 k}$$

$$T = \tan^2 k - \frac{1}{\tan^2 k}$$

$$R = \ln \tan hk - \ln \tan k$$

$$k = \frac{\pi R}{4A}$$

와 같다.

지금 外部導體上의 表面電荷密度를  $\rho(\phi)$ 라고 두면

$$\begin{aligned} \rho(\phi) &= \epsilon_0 \left( \frac{\partial V}{\partial r} \right)_{r=1} \\ &= \frac{\epsilon_0 V_1 [(S+T) + 4R \cos 2\phi]}{S \ln \tan k + T \ln \tan hk} \end{aligned} \quad \dots \dots \dots (8)$$

와 같다.

따라서 外部導體上의 全負電荷  $Q$ 는

$$Q = \int_0^{2\pi-\theta} \rho(\phi) d\phi = \frac{\epsilon_0 V_1 (2\pi-\theta)(S+T)}{S \ln \tan k + T \ln \tan hk} \quad \dots \dots \dots (9)$$

와 같다.

따라서 特性 Impedance  $Z_0$ 는 空氣中에서는 傳播速度  $V$ 가 單位長當의  $L$ ,  $C$ 와

$$V = \frac{1}{\sqrt{\epsilon_0 \mu_0}} = \frac{1}{\sqrt{LC}} \quad \dots \dots \dots (10)$$

但,  $\epsilon$ ,  $\mu_0$ 는 真空中의 誘電率 및 導磁率과 같은 關係에 있으므로

$$C = \frac{Q}{V_1}$$

$$L = \frac{\epsilon_0 \mu_0}{C}$$

에서

$$Z_0 = \sqrt{\frac{L}{C}} = 120\pi \cdot \left\{ \frac{S \frac{1}{\ln \tan k} + T \frac{1}{\ln \tan hk}}{(2\pi-\theta)(S+T)} \right\} \quad \dots \dots \dots (11)$$

$$= 60 \left\{ \frac{S}{S+T} \ln \frac{1}{\tan k} + \frac{T}{S+T} \ln \frac{1}{\tan hk} \right\} \left( 1 + \frac{\theta}{2\pi} \right) \quad \dots \dots \dots (11)'$$

(11)'式이 Slot 幅  $\theta$ 가 있을 때의 特性 Impedance의 一般式을 表示한다.

一般的으로 等角寫像에 依한 電氣容量은 變化하지 않으므로 (11)'式은 그대로  $\theta$ 가 (4)式과 같은 關係에 있는 Slab line의 特性 Impedance  $Z_0$ 가 된다. 여기서  $\tan k = \tan hk = k$ 가 되면 (11)'式은

$$Z_0 = 60 \ln \frac{1}{k} \cdot \left( 1 + \frac{\theta}{2\pi} \right) \quad \dots \dots \dots (12)$$

와 같다. 이것은 普通 Coaxial line의 特性 Impedance를 表示하는 式에다가 Slot 幅에 依한 影響이 考慮된 一般式이 된다.

### 3. 設計法과 精度

(11)式에 依해서  $k$ 의 變化에 따른 特性 Impedance  $Z_0(\Omega)$ 를 圖示한 것이 그림 2이다. 이때  $\frac{\theta}{2\pi} \ll 1$ 이라고 했다. 여기서  $Z_0 = 75 \Omega$ 를 얻기 위해서는

$$k = \pi \frac{R}{4A} = 0.286$$

이 된다.

$$\text{따라서 } \frac{D}{A} = 5.6$$

$$R = 0.5 \text{ (cm)}$$

라고 하면

$$A = 13.7 \text{ (mm)}$$

$$D = 76.7 \text{ (mm)}$$

라는 斷面의 크기가 決定된다. 이때의 等價的의 Coaxial line의 Slot 幅  $\theta$ 는 0.0012 rad이 된다. 그러므로 Slab line에서 間隔이 27.4 mm, 幅 76.7 mm의 平行平板으로 上下面이 開放되어 있어도 그것을 Coaxial line의 Slot 幅으로 換算해보면 거의 無視할 수가 있다. 萬若 Slot 幅이 Coaxial line에 있어서 더 넓어질 때 Coaxial line의 特性 Impedance는 (11)'式에 依해서 그림 3과 같이 變化된다. 여기서  $\theta = 0.001$  rad일 때  $Z_0 = 72.15 \Omega$ 으로 된 것이  $\theta = 0.01$  rad 가지는 거의 變化없으나 그 以上에서는 容量  $C$ 가 次次 작아지므로 特性 Impedance는 反對로 커진다는 것을 알 수 있다.

그림 3. Slot 幅 $\theta$ 變化에 따르는 等價的 容量과 그에의 特性 Impedance

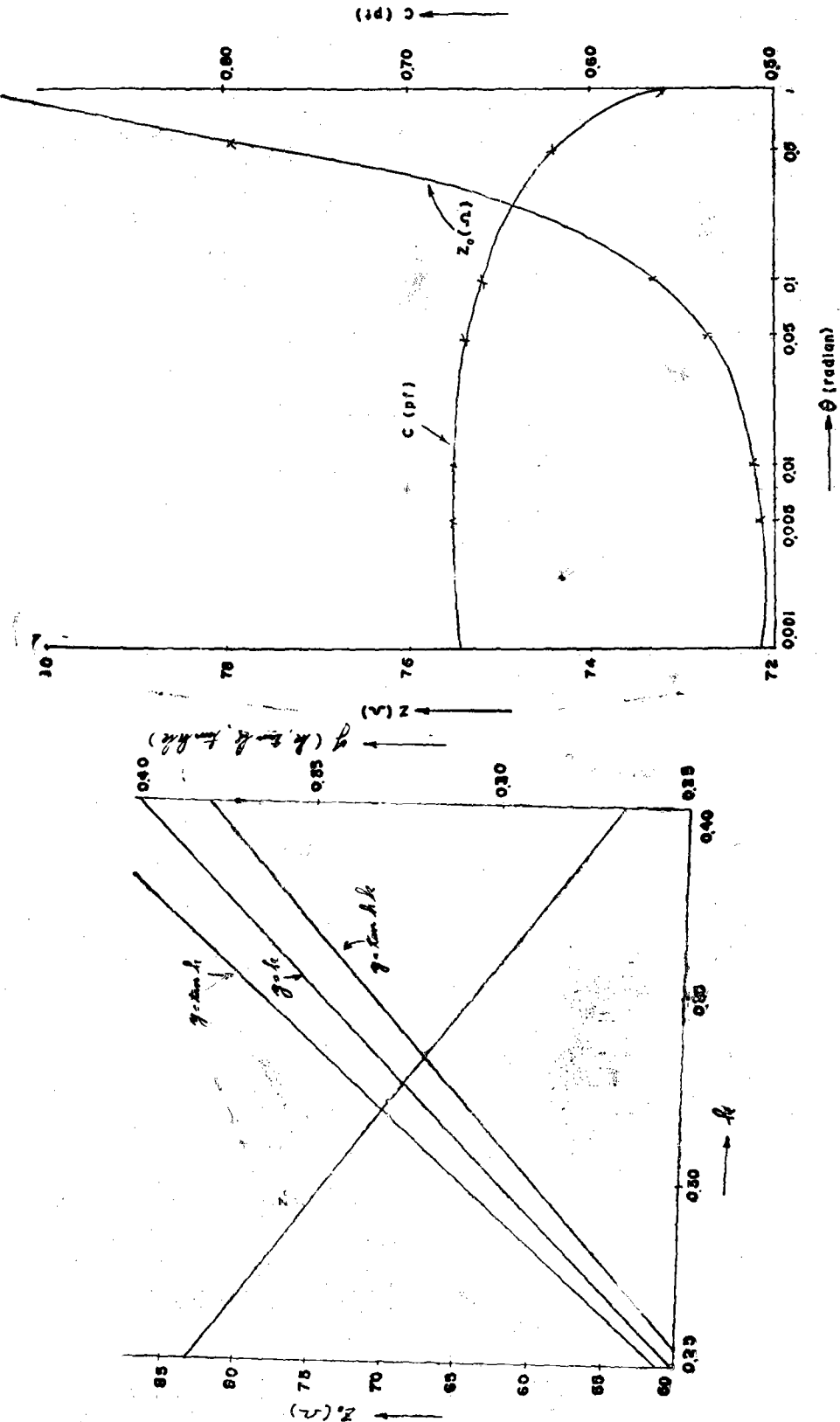
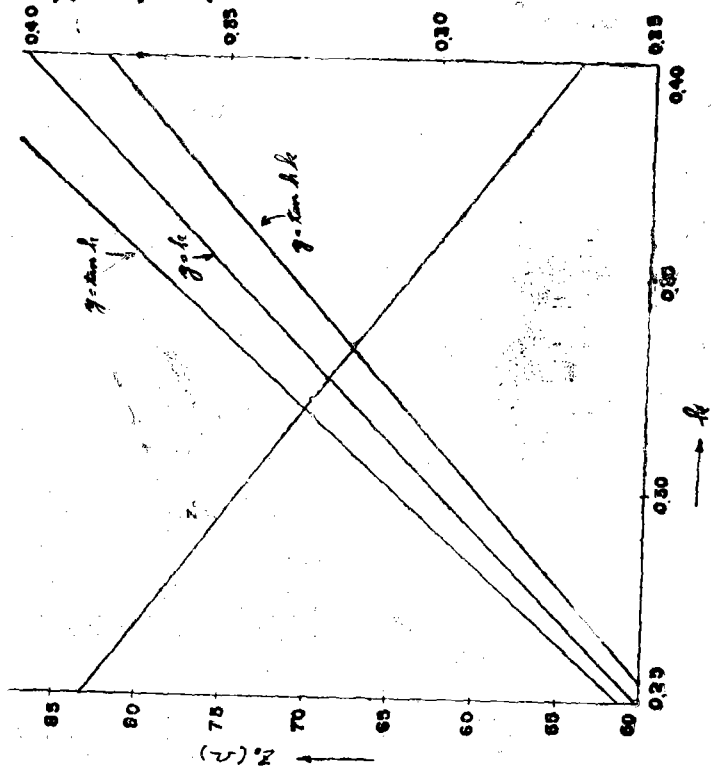


그림 2.  $k$  變化에 따르는 特性 Impedance의 函數關係圖



한편  $k < 0.06$  일 때는

가 되어서 (11)' 式은 (12)式과 같게 된다. 그러나一般的으로  $72\Omega$ 附近의 特性 Impedance를 갖는  $k = 0.30$  近傍에서는 그림 2와 같이  $\tan k > k > \tan hk$  가 되어서 普通 coaxial line 떼와 같이 簡單한 式으로서는 定 할 수 없다. 여기서 (11)' 式과 (12)式에 依한  $Z_0$ 를  $k = 0.30 \theta = 0.001 \text{ rad}$  일떼를 各各 計算하여 이것을 比較하면

(11)' 式에서  $72.15 \Omega (\theta=0)$ ,  $72.16 \Omega (\theta=0.001)$

(12) 式에서  $72.24 \Omega (\theta=0)$ ,  $72.25 \Omega (\theta=0.001)$

과 같다. 여기서  $\theta = 0.001 \text{ rad}$ 의 普通 Coaxial line 의 Slot 幅에 對해서 (12)式의  $Z_0$ 는 (11)'式과  $0.09 \Omega$ 의 誤差 밖에 없다는 것을 確認할 수 있다. 따라서 中心導體가 楕圓인 Coaxial line 이나 圓일 때의 그것은 거의 無視할 수 있는 範圍內의 Impedance 偏差 밖에 없고 Slab line 的 中心導體가 圓이고 外部導體가 平行平面이라도 거의 (4)式과 같은 關係에 있는 Slot 幅을 가진 Coaxial line 과 같은 特性 Impedance 를 取扱할 수 있다.

#### 4. 定在波 测定器로서의 適應性

30 Mc 帶에서 定在波를 測定할 수 있게 하려면 最少限 5 m 의 길이가 있어야만 最小, 最大의 電壓 定在波值로서 Impedance 를 測定할 수가 있다. 이러한 것을 Coaxine line 型 定在波 測定器로써 實現하려면 中心導體의 支持問題에서 外部導體와의 幾何學的인 中心位置에 完全對稱으로 固定하는 것이 容易한 일이 아닌 同時에 그 위를 Slotted line 에 따라서 探針의 깊이를 一定하게 移動한다는 것은 容易한 일이 아니며 精密測定에 있어서는 測定誤差가 介入할 餘地가 許多하다. 여기에 比해서 Slab line 에서는 첫째로 外部導體가 平行 平面이므로 固定하기가 쉽고 그 中心 position에 中心導體를 支持하는 것은 꽤 容易한 일이다. 그리고 探針의 깊이를 一定하게 維持하면서 移動할 때 上下左右의 振動이 幾何學的인 構造上으로 보아서 꽤 적다. 뿐만 아니라 電氣的으로 Coaxial line 과 磁力線 및 電氣力線의 分布를 比較해 보면 그림 4와 같이 探針 position附近의 磁力線의 變化가 Slab line 에서 꽤 적게 되어 있는 것을 알 수 있다. 따라서 電氣的으로 上下左右의 探針 position 變動에 따르는 測定誤差가 꽤 적다는 것을 알 수 있다. 이러한 것을 探針과 中心導體와의 사이의 間隔의 微小變化에 對한 Slab line 的 探針 感度를  $Sp$ , Coaxial line 의 그것을  $Sc$  라고 하면  $Sp$ ,  $Sc$  는 다같이 電界의 gradient 에 比例하므로 探針의 position 를  $x=0$  라고 하면

$$\frac{Sp}{Sc} = \left\{ \begin{array}{l} \frac{dE}{dy} \\ \hline \frac{dE}{dr} \end{array} \right\}_{x=0}$$

$$= \left( \frac{dr}{d\gamma} \right)_{x=0} = 1 - r^2 \dots \dots \dots \quad (14)$$

여기서  $r = 1 - b$ .....(15)라고 하면

但, b는 coaxial line에 대한 探針의 깊이를 外部.

導體의 半徑을 1로 한 比

$$\text{지금 } b = \frac{1}{16} \text{ 라면}$$

$$\frac{Sp}{Se} \approx \frac{1}{10}$$

이 된다.

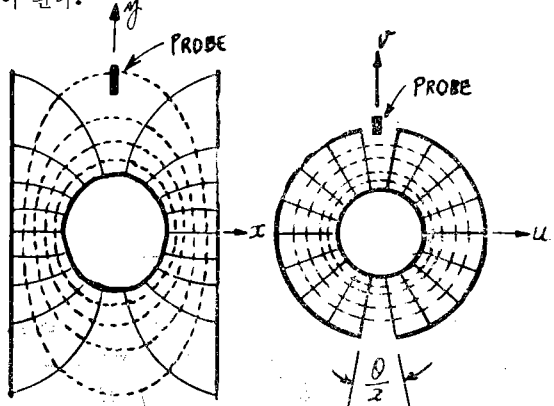


그림 4. Slab line 과 coaxial line 의 電界(實線)  
및 磁界(點線) 分布의 斷面圖

그러나 反面에서는 이와같이 Slab line 의 探針 感度 가 낮기 때문에 Q 가 높은 共振型 檢出部를 必要로 하며 이로서 測定 周波數 範圍가 限定된다. 이러한 檢出 感度를 올리려면 搬送波 自體를 200 Kc 程度로 잳게 變調한 것을 檢出하여서 200 Kc 와 DC 增福을 別途로 各段에서 增幅을 할 수 있게 되므로 感度가 낮다는 것은 免할 수 없는 缺點이라고 할 수 있으며 人體의 影響이라든지 探針挿入에 依한 傳送線路의 影響이 적다는 것은 根本적으로 Slab line 型이 Coaxial line 型의 定波 測定器에 比較해서 좋다는 長點이다.

끝으로 被測定物과의 結合에 있어서는  $N$ 型 同軸接栓으로 變換되어야 하는데 이 變換部를 taper型으로 하는 것이 普通이나 變換部의 길이를 짧게 하기 위해서는 Step型으로 하여 實驗的으로 잘 調整하면 殘留定在波比 1까지 얻을 수 있다.

## 5. 結論

Slotted line 의 Slot 幅이 주는 特性 Impedance 的 影響을 理論的으로 求하였다. 特히 30~1,000 Mc 帶에

서 從來의 Coaxial line 보다 Slab line 이 더 製作하기  
가 쉽고 經濟的이라는 點에서 Slab line 과 Coaxial line  
의 Slot 幅에 依한 特性 Impedance 的 變化를  $72\Omega$  附  
近에서 比較해 본 結果 間隔 27.4mm, 幅 76.7mm  
의 平行平板으로 되어 있는 Slab line 이라도 Coaxial  
line 으로 하면 0.0012 rad 의 Slot 幅에 지나지 못하며

0.01 rad 까지 Slot 幅이 넓어져도 特性 Impedance 에  
의 變化가 없다는 限界를 計得了.

#### 參考文獻

- 1) W. B. Wholey & W. N. Eldred: "A New Type of Slotted Line Section" Proc. IRE. May 1950.

### 超多重 同軸海底 Cable 方式比較

System Term	大西洋橫斷同軸 Cable 方式; TAT-I (SB)	太平洋橫斷同軸 Cable 方式; TPC (SD)
Compleat Zone Distance	1956-IX Scotland/Newfoundland 3600km	1964-VII Tokyo-Hawaii 9800km
No. of CH.	36CH(4Kc)	128(3Kc)
Span of Repeater	69km	37km
Const. Cost	42 million dollars	80 million dollars
Cable System	2-cables Armored	1-cable Armorless
Weigh in water	0.97(t/km)	0.47(t/km)
Breaking Strength	12.5(t)	7(t)
Modulus	13.0km	14.8km
Trans. Loss	0.87db/km(114Kc)	1.37db/km(1080Kc)
Repeater Type	Flexible One-way	Rigid, Both-way
Size of Reater	7.3cm( $\phi$ ) × 244cm(l)	30cm( $\phi$ ) × 90cm(l)
Trans. Band	20~164(Kc)	108~504, 660~1052(Kc)
No. of Repeater	51 × 2	about 270
Feeding Voltage	DC ± 2000(V)	DC ± 6,000(V)
Max. depth	4,100(m)	7,000(m)

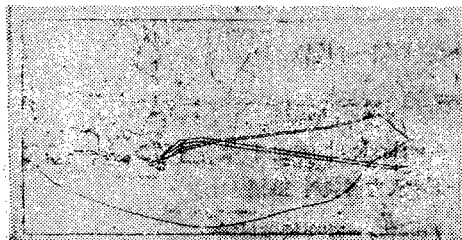


그림 1. 太平洋橫斷 Cable 布設圖

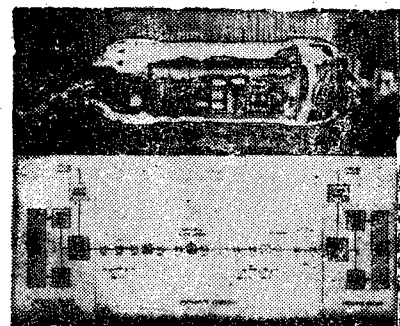


그림 2. 大西洋橫斷方式(TAT-3)中繼系統圖 및 中繼器內部